

コンクリートの自由収縮量の推定に関する基礎的研究

中西正俊
松本信二
(広島支店)
鳥田専右

§ 1. まえがき

コンクリート構造物にみられるひびわれの発生原因は多いが、その最大の原因の1つはコンクリートの乾燥収縮である。乾燥収縮ひびわれは、壁・スラブ等の薄い部材に多い。これは、部材の大きさによって乾燥速度が異なるため、薄い部材の内部に引張応力が発生し、これがコンクリートの引張強度を超過したためである。

調査によると、このようなひびわれは、通常、コンクリート打設1~3ヶ月後に発生するようである。

このような乾燥収縮ひびわれを防止するためには、終局乾燥収縮ひずみならびに乾燥収縮過程を定量的に把握する必要がある。

コンクリートの終局乾燥収縮ひずみの推定式としてはつぎのようなものがある。

$$Sc = 0.9 \left(\frac{Sp - Sa}{1 + \frac{EaAa}{EpAp}} + Sa \right) \quad \dots(1)$$

$$Sc = \left[Sp - \frac{Sp - Sa}{1 + \frac{2}{3} \left(\frac{1-2\mu_a}{1-\mu_a} \right) \frac{Ep}{Ea} \cdot \frac{p}{(1-p-v)}} \right] (1+v) \quad \dots(2)$$

$$S_{\infty} = 2.3 \times 10^{-2} \times \frac{\frac{W}{C} - 0.18h}{\frac{C}{W} + 0.32} \cdot (1-Va)^2 \cdot \sqrt{1-\psi} \cdot e^{-0.035 \frac{2V}{S}} \quad \dots(3)$$

(1)式は大野和男氏¹⁾の、(2)式は仕入豊和氏²⁾の、(3)式は H. Hilsdorf 氏³⁾の推定式である。さて、一定の環境条件での自由収縮過程を表わす方程式としてはつぎのような3種類が考えられる。

$$S = a(1 - e^{-bt}) \text{ または } S = a(1 - e^{-bt^n}) \quad \dots(4)$$

$$S = \frac{t}{a+bt} \quad \dots(5)$$

$$\frac{\partial S}{\partial t} = k \left(\frac{\partial^2 S}{\partial x^2} + \frac{\partial^2 S}{\partial y^2} + \frac{\partial^2 S}{\partial z^2} \right) \quad \dots(6)$$

(4)式は A. D. Ross 氏⁴⁾、I. Lyse 氏^{5),6)} 等によつて提案されている実験式で、係数 a は終局収縮ひずみをあらわす。(5)式は日本建築学会のプレストレストコンクリート設計施工規準⁷⁾で採用されている式で、終局収縮ひずみは $1/b$ となる。(6)式はコンクリートの乾燥収縮過程を熱拡散とみなした理論式で、G. Pickett^{8),9)}により基礎的な研究がなされた。この拡散方程式によれば種々の乾燥状態について、任意の乾燥材令 t における、与えられた大きさ($2a \times 2b \times 2c$)をもつコンクリート部材

内部の任意の位置($x/a, y/b, z/c$)での収縮ひずみを1つの式で表わすことができる。

§ 2. 目的

本研究では、収縮拡散方程式を工学的に利用することができるかどうかを調べるために、つぎの2点について検討を行なったものである。

1) 異なる乾燥面をもつコンクリートおよびモルタルの収縮過程の比較

2) 乾燥収縮低減を目的とする混和材を用いたときの収縮過程の比較

コンクリートの乾燥収縮過程を拡散方程式で表示すると、利点のある反面、つぎのような問題点もある。すなわち、コンクリートを均質・等方質な物体とみなすことと、境界条件の決定法等である。

なお、拡散方程式に関する理論は G. Pickett によって体系づけられており、この式の中で用いる拡散係数 k は、コンクリートの乾燥状態およびセメントの水和反応の程度により変化するといわれているが、今回は k の経時変化は考慮しない。またセメント水和物の炭酸化による収縮についても考慮していない。

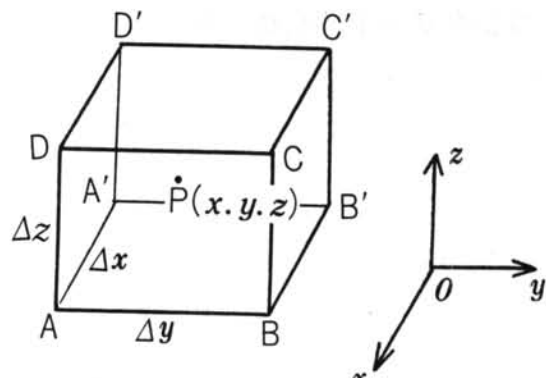


図-1

§ 3. 収縮拡散方程式

3.1 収縮拡散方程式の導入

コンクリートを、均質・等方質な物体として、コンクリート内の1点 $P(x, y, z)$ を中心とする稜の長さ $\Delta x, \Delta y, \Delta z$ の微小直方体を考える。

いま P における湿度を $H(x, y, z, t)$ とすれば、図-1の $ABCD$ 面を通して時間 Δt に直方体に流入する湿気量は湿度こう配

$$\left(\frac{\partial H}{\partial t}\right)_x + \frac{\Delta x}{2}$$

に比例し、

$$\lambda \left(\frac{\partial H}{\partial x}\right)_x + \frac{\Delta x}{2} \Delta y \Delta z \Delta t = \lambda \left(\frac{\partial H}{\partial x} + \frac{\partial^2 H}{\partial x^2} \cdot \frac{\Delta x}{2}\right) \Delta y \Delta z \Delta t \quad \dots(7)$$

で与えられる。ここで λ は透湿率である。また時間 Δt に $A'B'C'D'$ 面を通して流入する湿気量は、

$$-\lambda \left(\frac{\partial H}{\partial x}\right)_x - \frac{\Delta x}{2} \Delta y \Delta z \Delta t = -\lambda \left(\frac{\partial H}{\partial x} - \frac{\partial^2 H}{\partial x^2} \cdot \frac{\Delta x}{2}\right) \Delta y \Delta z \Delta t \quad \dots(8)$$

で与えられる。

故に上記2つの相対する面を通して流入する湿気量の和は、 $\lambda \frac{\partial^2 H}{\partial x^2} \Delta x \Delta y \Delta z \Delta t$ となる。

他の面を通して流入する湿気量も加えて、時間 Δt に直方体 $ABCDA'B'C'D'$ に流入する湿気量の総和は、

$$\lambda \left(\frac{\partial^2 H}{\partial x^2} + \frac{\partial^2 H}{\partial y^2} + \frac{\partial^2 H}{\partial z^2}\right) \Delta x \Delta y \Delta z \Delta t \quad \dots(9)$$

となる。この湿気量を得て直方体の湿度は、 $\frac{\partial H}{\partial t} \Delta t$

だけ大きくなる。湿気量の増加が湿度の増加に比例するものとすれば、

$$\frac{\partial H}{\partial t} \Delta t (\Delta x \Delta y \Delta z) = K \left(\frac{\partial^2 H}{\partial x^2} + \frac{\partial^2 H}{\partial y^2} + \frac{\partial^2 H}{\partial z^2}\right) \Delta x \Delta y \Delta z \Delta t \quad \dots(10)$$

これから

$$\frac{\partial H}{\partial t} = K \left(\frac{\partial^2 H}{\partial x^2} + \frac{\partial^2 H}{\partial y^2} + \frac{\partial^2 H}{\partial z^2}\right) \quad \dots(11)$$

を得る。ここで K は湿度拡散係数である。

一方、コンクリート内部の相対湿度と収縮ひずみとの関係は、相対湿度が40%以上では直線関係にある。

これに関しては、近藤実氏の研究^{10),11)}、原田有氏他の研究^{12),13),14)}がある。近藤実氏の研究によれば、相対湿度と収縮ひずみとの関係は、毛細管張力と残留毛細管水の2つを考慮することによって説明できる。

以上のことから、収縮に関しては湿度に関する式と同様に考え、次式を得る。

$$\frac{\partial S}{\partial t} = k \left(\frac{\partial^2 S}{\partial x^2} + \frac{\partial^2 S}{\partial y^2} + \frac{\partial^2 S}{\partial z^2} \right) \quad \dots(12)$$

ここに S : 収縮ひずみ

t : 時間

k : 収縮拡散係数

3.2 初期条件および境界条件

コンクリートの寸法を $2a \times 2b \times 2c$ とし、座標の原点を中心とする。(図-2)

初期条件

$$t = 0 \text{ のとき } S = 0 \quad \dots(13)$$

境界条件

$$x = 0 \text{ のとき } \frac{\partial S}{\partial x} = 0 \quad \dots(14)$$

$$y = 0 \text{ のとき } \frac{\partial S}{\partial y} = 0 \quad \dots(15)$$

$$z = 0 \text{ のとき } \frac{\partial S}{\partial z} = 0 \quad \dots(16)$$

$$x = \pm a \text{ のとき } \frac{\partial S}{\partial x} = \pm \frac{f}{k} (S_{\infty} - S) \quad \dots(17)$$

$$y = \pm b \text{ のとき } \frac{\partial S}{\partial y} = \pm \frac{f}{k} (S_{\infty} - S) \quad \dots(18)$$

$$z = \pm c \text{ のとき } \frac{\partial S}{\partial z} = \pm \frac{f}{k} (S_{\infty} - S) \quad \dots(19)$$

ここに f : 表面係数

S_{∞} : 終局収縮ひずみ

(17)～(19)は Newton の冷却則に相似させた。

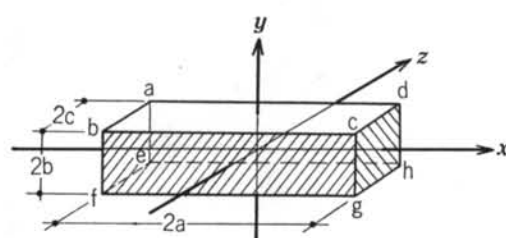


図-2

$$S = \int_0^{\infty} e^{-k\mu^2 t} (C_1 \cos \mu y + C_2 \sin \mu y) d\mu + C_3 y + C_4$$

よって

$$\frac{\partial S}{\partial y} = \int_0^{\infty} \mu e^{-k\mu^2 t} (-C_1 \sin \mu y + C_2 \cos \mu y) d\mu + C_3 \quad \dots(29)$$

(15)から

$$C_2 \int_0^{\infty} \mu e^{-k\mu^2 t} d\mu + C_3 = 0 \quad \dots(30)$$

3.3 収縮拡散方程式の解

まず2面乾燥の場合から求める。図-2で a, b, c, d 面および e, f, g, h 面のみから乾燥させる場合の基礎方程式はつぎのようになる。

$$\frac{\partial S}{\partial t} = k \frac{\partial^2 S}{\partial y^2} \quad \dots(20)$$

このときの条件式は、(13), (15), (18)をとればよい。(20)式の解を

$$S = T(t) \cdot Y(y) \quad \dots(21)$$

とおき、(20)式に代入すると、

$$\frac{T'}{T} = k \frac{Y''}{Y} \quad \dots(22)$$

左辺は T だけの、右辺は Y だけの函数だから、(22)式が成立するためにはそれが定数($-k\mu^2$)と考えられる。故につぎの2つの常微分方程式が得られる。

$$Y'' + \mu^2 Y = 0 \quad \dots(23)$$

$$T' + k\mu^2 T = 0 \quad \dots(24)$$

(23)の一般解は、 C_1, C_2 を定数とすれば、

$$Y = C_1 \cos \mu y + C_2 \sin \mu y \quad \dots(25)$$

(24)の一般解は C_3 を定数とすれば、

$$T = C_3 e^{-k\mu^2 t} \quad \dots(26)$$

したがって(20)の特解は

$$S = T(t) \cdot Y(y) = e^{-k\mu^2 t} (C_1 \cos \mu y + C_2 \sin \mu y) \quad \dots(27)$$

上式で C_3 は C_1, C_2 と同様任意定数であるからこれを C_1, C_2 に含ませた。よって(20)の一般解は上の特解の総和で表わすことができるとともに、 μ の連続性からつぎの積分で表わすことができる。

$$\dots(28)$$

$$\dots(29)$$

$$\dots(30)$$

これが t に關係なく成立するためには,

$$C_2 = 0, \quad C_3 = 0$$

よって(28), (29)はつぎのようになる.

$$S = \int_0^\infty C_1 e^{-k\mu^2 t} \cos \mu y d\mu + C_4 \quad \dots(31)$$

$$\frac{\partial S}{\partial y} = - \int_0^\infty C_1 \mu e^{-k\mu^2 t} \sin \mu y d\mu \quad \dots(32)$$

(18)から

$$\pm \int_0^\infty C_1 \mu e^{-k\mu^2 t} \sin \mu b d\mu = \pm \frac{f}{k} \left(S_\infty - \int_0^\infty C_1 e^{-k\mu^2 t} \cos \mu b d\mu - C_4 \right) \quad \dots(33)$$

これが t に關係なく成立するためには,

$$C_4 = S_\infty$$

$$\mu \tan \mu b = \frac{f}{k} \quad \therefore \quad \mu b \tan \mu b = \frac{f}{k} b$$

ここで

$$\frac{f}{k} b = B, \quad \mu b = \beta, \quad T_b = \frac{kt}{b^2}$$

とおくと, (31)は

$$S = \sum_{n=1}^{\infty} C_1 e^{-\beta_n^2 T_b} \cos \frac{y}{b} \beta_n + S_\infty \quad \dots(34)$$

ただし, β_n は $\beta \tan \beta = B$ の n 番目の根である.

(13)から

$$\sum_{n=1}^{\infty} C_1 \cos \frac{y}{b} \beta_n + S_\infty = 0 \quad \dots(35)$$

(35)の両辺に

$$\sum_{n=1}^{\infty} \cos \frac{y}{b} \beta_n$$

をかけて, y について $-b$ から b まで積分すると,

$$\begin{aligned} & \int_{-b}^b \sum_{n=1}^{\infty} \left(C_1 \cos^2 \frac{y}{b} \beta_n + S_\infty \cos \frac{y}{b} \beta_n \right) dy = 0 \\ \therefore \quad C_1 &= - \frac{\int_{-b}^b S_\infty \cos \frac{y}{b} \beta_n dy}{\int_{-b}^b \cos^2 \frac{y}{b} \beta_n dy} = - \frac{2S_\infty \cdot \frac{b}{\beta_n} \sin \beta_n}{b \left(\frac{\sin 2\beta_n}{2\beta_n} + 1 \right)} \\ &= -2S_\infty \cdot \frac{\sin \beta_n}{\sin \beta_n \cos \beta_n + \beta_n} \end{aligned} \quad \dots(36)$$

これを(34)に代入すると

$$S = S_\infty \left(1 - \sum_{n=1}^{\infty} e^{-T_b \beta_n^2} \cdot \frac{\sin \beta_n}{\sin \beta_n \cos \beta_n + \beta_n} \cdot \cos \frac{y}{b} \beta_n \right) \quad \dots(37)$$

6面乾燥の場合も, x, y, z は関して独立に考えられるから(37)を拡張して, 次の解を得る.

$$S = S_\infty \left(1 - \sum_{n=1}^{\infty} e^{-T_a \alpha_n^2} \cdot G\alpha_n \cdot \cos \frac{x}{a} \alpha_n \cdot \sum_{n=1}^{\infty} e^{-T_b \beta_n^2} \cdot G\beta_n \cdot \cos \frac{y}{b} \beta_n \cdot \sum_{n=1}^{\infty} e^{-T_c \gamma_n^2} \cdot G\gamma_n \cdot \cos \frac{z}{c} \gamma_n \right) \quad \dots(38)$$

ただし

$$T_a = \frac{kt}{a^2}, \quad T_b = \frac{kt}{b^2}, \quad T_c = \frac{kt}{c^2}$$

$$G\alpha_n = \frac{\sin\alpha_n}{\sin\alpha_n \cos\alpha_n + \alpha_n}, \quad G\beta_n = \frac{\sin\beta_n}{\sin\beta_n \cos\beta_n + \beta_n}, \quad G\gamma_n = \frac{\sin\gamma_n}{\sin\gamma_n \cos\gamma_n + \gamma_n}$$

$\alpha_n, \beta_n, \gamma_n$ は $\alpha \tan\alpha = A, \beta \tan\beta = B, \gamma \tan\gamma = C$ の n 番目の根とする。

$$A = \frac{f}{k} a, \quad B = \frac{f}{k} b, \quad C = \frac{f}{k} c$$

つぎに、2面乾燥のときの収縮ひずみを S_2 、6面乾燥のときの収縮ひずみを S_6 とする。

試験体全体の平均収縮ひずみを各々 S_{AV2}, S_{AV6} とすると、

$$\begin{aligned} S_{AV2} &= \frac{1}{2b} \int_{-b}^b S_2 dy = S_\infty \left(1 - \sum_{n=1}^{\infty} e^{-T_b \beta_n^2} \cdot \frac{G\beta_n}{\beta_n} \cdot \sin\beta_n \right) \\ S_{AV6} &= \frac{1}{8abc} \int_{-a}^a \int_{-b}^b \int_{-c}^c S_6 dx dy dz \\ &= S_\infty \left(1 - \sum_{n=1}^{\infty} e^{-T_a \alpha_n^2} \cdot \frac{G\alpha_n}{\alpha_n} \cdot \sin\alpha_n \cdot \sum_{n=1}^{\infty} e^{-T_b \beta_n^2} \cdot \frac{G\beta_n}{\beta_n} \cdot \sin\beta_n \cdot \sum_{n=1}^{\infty} e^{-T_c \gamma_n^2} \cdot \frac{G\gamma_n}{\gamma_n} \cdot \sin\gamma_n \right) \end{aligned} \quad \dots \dots (40)$$

した。

以下をまとめると表一のようになる。

要因	水準
乾燥面	6面乾燥, 2面乾燥, 全面シール
混和材	なし, 混和材A, 混和材B
調合	コンクリート, モルタル

表一 要因ならびに水準

§ 4. 実験の計画

4.1 概要

モルタル, コンクリートの試験体を6面乾燥させたときと, 2面乾燥させたときでは, 乾燥収縮過程がどのようにちがうか, また, モルタル, コンクリートに収縮低減を目的とする混和材を混入したとき, 乾燥収縮過程にどのような影響を与えるか, について検討を行なった。

したがって試験体の大きさ, 養生条件, 乾燥条件はすべて同一とした。

4.2 実験に用いた因子と水準

- a) 乾燥面 6面乾燥, 2面乾燥, 乾燥面なし (全面シール) の3種類とした。全面シールした試験体は, 乾燥収縮以外の収縮ひずみを知るためのものである。
- b) 混和材 混和材を入れないもの, CaO, SO_3 を主成分とした収縮低減材 (混和材A) を混入したもの, Al_2O_3, CaO, SO_3 を主成分とした膨張材 (混和材B) を混入したもの, 以上の3種類とした。
- c) 調合 コンクリートおよびモルタル各1種類と

4.3 調合

水セメント比60%とし, 表一に示す調合とした。

4.4 実験に用いた材料

セメント: N社製普通ポルトランドセメント

骨材: 砂利20mm以下, 砂5mm以下

混和材A: セメント量の内割5%使用

混和材B: セメント量の内割11%使用

水: 水道水

なお, 使用したセメント, 混和材の成績表を表三および表四に示す。

種別	セメント ト (kg/ m ³)	砂 (kg/ m ³)	砂利 (kg/ m ³)	水 (kg/ m ³)	混和材 A (kg/ m ³)	混和材 B (kg/ m ³)	W/C %wt	S/A %v/vL
I	342	881	875	205	—	—	60	50.2
II	325	881	875	205	17	—	60	50.2
III	304	881	875	205	—	38	60	50.2
IV	586	1,172	—	352	—	—	60	—
V	557	1,172	—	352	29	—	60	—
VI	522	1,172	—	352	—	64	60	—

表-2 コンクリートおよびモルタルの調合

比重	粉末度ブレーン	凝結			マグネシヤ	無硫酸	水酸	強熱減量	ケイ酸三石灰	アルミニウム三石灰
		水量	始発	終結						
3.14	3200cm ³ /g	26.8%	2:08	3:20	1.1%	1.9%	0.8%	49%	9%	
<hr/>										
フロー値	曲げ強さ (kg/cm ²)			圧縮強さ (kg/cm ²)						
	3日	7日	28日	3日	7日	28日				
244mm	30.1	47.2	67.6	126	225	412				

表-3 セメント成績表（製造者の報告による）

	Ig. Loss	SiO ₂	Al ₂ O ₃	Fe ₂ O ₃	CaO	MgO	SO ₃	計
混和材A	20.4	1.4	1.1	0.2	48.8	1.2	26.7	99.8
混和材B	0.5	1.7	12.2	0.6	48.8	3.3	32.2	99.3

表-4 混和材の成分表（製造者の報告による）

4.5 試験方法

試験体の寸法は10cm×10cm×40cmとした。くり返し回数2回とし、合計36個の試験体を作成した。

型わくは測定計器取付の便宜上木製(12mm厚合板)とした。コンクリート打込みの翌日脱型し、6日間水中養生を行なった。材令7日で水中から出し、シールすべき面はパラフィンでシールしてから、21±3°C、45±5%R.

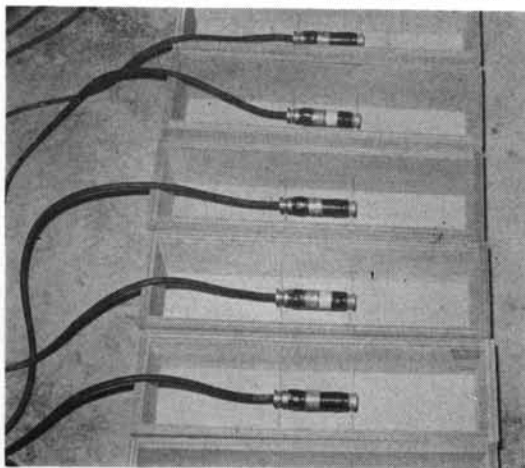


写真-1

H. の恒温恒湿室へ入れた。

収縮ひずみの測定は、試験体の中心部に検長10cmのカールソン型ひずみ計(共和電業KK製)を入れて行なった。

また、参考値として表面のひずみを、検長300mmのコンタクト・ストレインゲージで測定した。

2面乾燥の試験体は、図-3のa, b, c, d面およびe, f, g, h面のみを乾燥させ、他の4面はシールした。

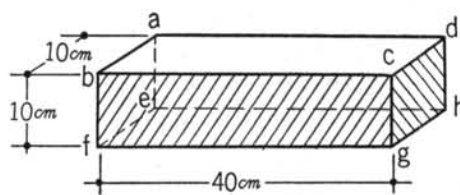


図-3

§ 5. 実験の結果

標準養生を行なった試験体の圧縮強度試験の結果を表-5に示す。

カールソンひずみ計による試験体中央部の収縮ひずみの測定結果を図-4～9に示す。これらはいずれも試験体2個の平均値である。

種別	1週(kg/cm ²)				4週(kg/cm ²)			
	1	2	3	平均	1	2	3	平均
I	211	215	199	208	324	245	356	308
II	197	203	198	199	290	310	313	304
III	202	188	201	197	306	297	287	297
IV	192	166	173	177	288	254	265	269
V	186	183	194	188	281	277	292	287
VI	154	170	161	162	238	260	247	248

表-5 圧縮強度

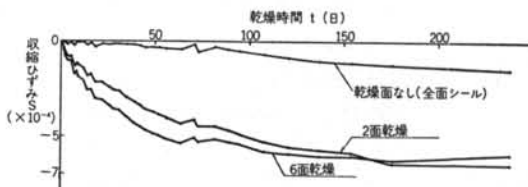


図-4 (I; コンクリート、混和材なし) の収縮ひずみ測定結果

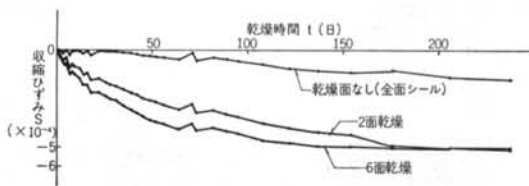


図-5 (II; コンクリート、混和材A) の収縮ひずみ測定結果

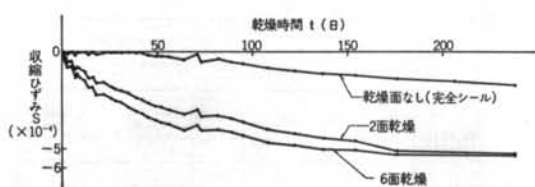


図-6 (III; コンクリート、混和材B) の収縮ひずみ測定結果

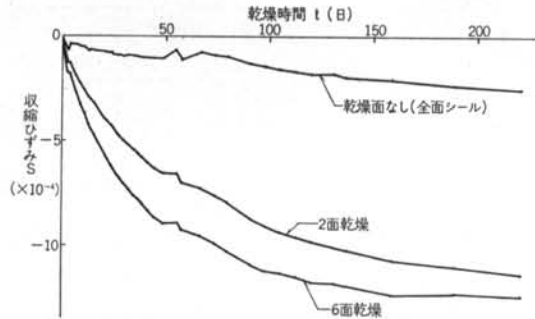


図-7 (IV; モルタル、混和材なし) の収縮ひずみ測定結果

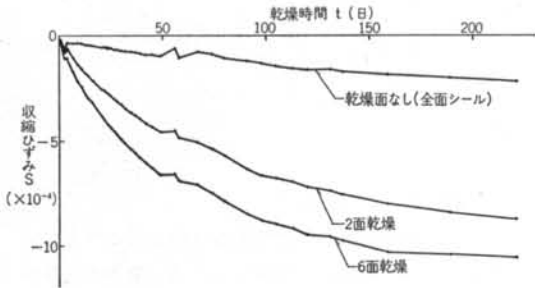


図-8 (V; モルタル、混和材A) の収縮ひずみ測定結果

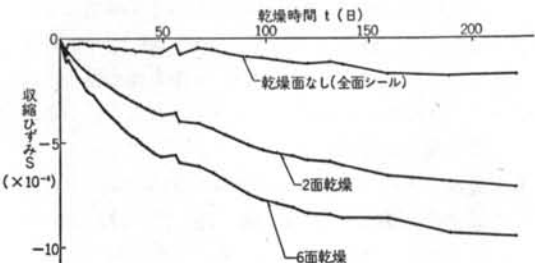


図-9 (VI; モルタル、混和材B) の収縮ひずみ測定結果

§ 6. 実験結果の解析

6.1 拡散方程式による理論値の計算

(39)式および(40)式で、 $a : b : c = 4 : 1 : 1$ とき、IBM1620により数値計算を行なった。計算を行なった範囲は

$$0.1 \leq A = \frac{f}{k} \quad a \leq 30.0$$

$$0.005 \leq Ta = \frac{k}{a^2} \quad t \leq 10.0$$

である。計算の結果のうち $A=0.1, 1.0, 10.0$ の場合を表-6, 7, 8 および図-10, 11, 12 に示す。

また計算を行なったFORTRANによるプログラムを表-9, 10に示す。

A	B	C	TA	TB	TC	SAV _B	SAV ₂	SAV _B -SAV ₂
1.000	0.250	0.250	0.0500	0.0800	0.0800	0.0047	0.0118	0.0244
1.000	0.250	0.250	0.0700	0.11200	0.11200	0.0062	0.0278	0.0316
1.000	0.250	0.250	0.1000	0.14000	0.14000	0.0081	0.0397	0.0413
1.000	0.250	0.250	0.1500	0.25000	0.25000	0.0132	0.0539	0.0617
1.000	0.250	0.250	0.2000	0.32000	0.32000	0.0171	0.0731	0.0880
1.000	0.250	0.250	0.3000	0.58000	0.58000	0.0261	0.1148	0.1459
1.000	0.250	0.250	0.4000	0.66000	0.66000	0.0350	0.1515	0.1932
1.000	0.250	0.250	0.5000	0.80000	0.80000	0.0438	0.1963	0.2339
1.000	0.250	0.250	0.6000	0.98000	0.98000	0.0511	0.2333	0.2339
1.000	0.250	0.250	0.7000	1.12000	1.12000	0.0586	0.2750	0.3316
1.000	0.250	0.250	0.8000	1.28000	1.28000	0.0687	0.3125	0.3782
1.000	0.250	0.250	0.9000	1.44000	1.44000	0.0771	0.3508	0.4206
1.000	0.250	0.250	1.0000	1.60000	1.60000	0.0852	0.3890	0.4661
1.000	0.250	0.250	1.1000	1.80000	1.80000	0.0931	0.4216	0.5000
1.000	0.250	0.250	1.2000	1.92000	1.92000	0.1007	0.4578	0.5378
1.000	0.250	0.250	1.3000	2.00000	2.00000	0.1082	0.4935	0.5723
1.000	0.250	0.250	1.4000	2.08000	2.08000	0.1153	0.5292	0.5964
1.000	0.250	0.250	1.5000	2.12000	2.12000	0.1221	0.5650	0.6364
1.000	0.250	0.250	1.6000	2.12000	2.12000	0.1287	0.5980	0.6449
1.000	0.250	0.250	1.7000	2.12000	2.12000	0.1352	0.6240	0.6592
1.000	0.250	0.250	1.8000	2.12000	2.12000	0.1417	0.6476	0.6805
1.000	0.250	0.250	1.9000	2.12000	2.12000	0.1482	0.6743	0.7057
1.000	0.250	0.250	2.0000	2.12000	2.12000	0.1547	0.7018	0.7281
1.000	0.250	0.250	2.1000	2.12000	2.12000	0.1612	0.7285	0.7517
1.000	0.250	0.250	2.2000	2.12000	2.12000	0.1677	0.7550	0.7782
1.000	0.250	0.250	2.3000	2.12000	2.12000	0.1743	0.7816	0.8037
1.000	0.250	0.250	2.4000	2.12000	2.12000	0.1809	0.8080	0.8317
1.000	0.250	0.250	2.5000	2.12000	2.12000	0.1875	0.8344	0.8649
1.000	0.250	0.250	2.6000	2.12000	2.12000	0.1940	0.8608	0.8949
1.000	0.250	0.250	2.7000	2.12000	2.12000	0.1995	0.8872	0.9203
1.000	0.250	0.250	2.8000	2.12000	2.12000	0.2050	0.9136	0.9465
1.000	0.250	0.250	2.9000	2.12000	2.12000	0.2105	0.9390	0.9726
1.000	0.250	0.250	3.0000	2.12000	2.12000	0.2160	0.9644	0.9985
1.000	0.250	0.250	3.1000	2.12000	2.12000	0.2215	0.9808	0.0000
1.000	0.250	0.250	3.2000	2.12000	2.12000	0.2270	0.9872	0.0000
1.000	0.250	0.250	3.3000	2.12000	2.12000	0.2325	0.9937	0.0000
1.000	0.250	0.250	3.4000	2.12000	2.12000	0.2380	0.9992	0.0000
1.000	0.250	0.250	3.5000	2.12000	2.12000	0.2435	0.9998	0.0000
1.000	0.250	0.250	3.6000	2.12000	2.12000	0.2490	0.9999	0.0000
1.000	0.250	0.250	3.7000	2.12000	2.12000	0.2545	0.9999	0.0000
1.000	0.250	0.250	3.8000	2.12000	2.12000	0.2600	0.9999	0.0000
1.000	0.250	0.250	3.9000	2.12000	2.12000	0.2655	0.9999	0.0000
1.000	0.250	0.250	4.0000	2.12000	2.12000	0.2710	0.9999	0.0000
1.000	0.250	0.250	4.1000	2.12000	2.12000	0.2765	0.9999	0.0000
1.000	0.250	0.250	4.2000	2.12000	2.12000	0.2820	0.9999	0.0000
1.000	0.250	0.250	4.3000	2.12000	2.12000	0.2875	0.9999	0.0000
1.000	0.250	0.250	4.4000	2.12000	2.12000	0.2930	0.9999	0.0000
1.000	0.250	0.250	4.5000	2.12000	2.12000	0.2985	0.9999	0.0000
1.000	0.250	0.250	4.6000	2.12000	2.12000	0.3040	0.9999	0.0000
1.000	0.250	0.250	4.7000	2.12000	2.12000	0.3095	0.9999	0.0000
1.000	0.250	0.250	4.8000	2.12000	2.12000	0.3150	0.9999	0.0000
1.000	0.250	0.250	4.9000	2.12000	2.12000	0.3195	0.9999	0.0000
1.000	0.250	0.250	5.0000	2.12000	2.12000	0.3250	0.9999	0.0000
1.000	0.250	0.250	5.1000	2.12000	2.12000	0.3295	0.9999	0.0000
1.000	0.250	0.250	5.2000	2.12000	2.12000	0.3350	0.9999	0.0000
1.000	0.250	0.250	5.3000	2.12000	2.12000	0.3395	0.9999	0.0000
1.000	0.250	0.250	5.4000	2.12000	2.12000	0.3450	0.9999	0.0000
1.000	0.250	0.250	5.5000	2.12000	2.12000	0.3495	0.9999	0.0000
1.000	0.250	0.250	5.6000	2.12000	2.12000	0.3550	0.9999	0.0000
1.000	0.250	0.250	5.7000	2.12000	2.12000	0.3595	0.9999	0.0000
1.000	0.250	0.250	5.8000	2.12000	2.12000	0.3650	0.9999	0.0000
1.000	0.250	0.250	5.9000	2.12000	2.12000	0.3695	0.9999	0.0000
1.000	0.250	0.250	6.0000	2.12000	2.12000	0.3750	0.9999	0.0000
1.000	0.250	0.250	6.1000	2.12000	2.12000	0.3795	0.9999	0.0000
1.000	0.250	0.250	6.2000	2.12000	2.12000	0.3850	0.9999	0.0000
1.000	0.250	0.250	6.3000	2.12000	2.12000	0.3895	0.9999	0.0000
1.000	0.250	0.250	6.4000	2.12000	2.12000	0.3950	0.9999	0.0000
1.000	0.250	0.250	6.5000	2.12000	2.12000	0.4000	0.9999	0.0000
1.000	0.250	0.250	6.6000	2.12000	2.12000	0.4055	0.9999	0.0000
1.000	0.250	0.250	6.7000	2.12000	2.12000	0.4110	0.9999	0.0000
1.000	0.250	0.250	6.8000	2.12000	2.12000	0.4165	0.9999	0.0000
1.000	0.250	0.250	6.9000	2.12000	2.12000	0.4220	0.9999	0.0000
1.000	0.250	0.250	7.0000	2.12000	2.12000	0.4275	0.9999	0.0000
1.000	0.250	0.250	7.1000	2.12000	2.12000	0.4330	0.9999	0.0000
1.000	0.250	0.250	7.2000	2.12000	2.12000	0.4385	0.9999	0.0000
1.000	0.250	0.250	7.3000	2.12000	2.12000	0.4440	0.9999	0.0000
1.000	0.250	0.250	7.4000	2.12000	2.12000	0.4495	0.9999	0.0000
1.000	0.250	0.250	7.5000	2.12000	2.12000	0.4550	0.9999	0.0000
1.000	0.250	0.250	7.6000	2.12000	2.12000	0.4605	0.9999	0.0000
1.000	0.250	0.250	7.7000	2.12000	2.12000	0.4660	0.9999	0.0000
1.000	0.250	0.250	7.8000	2.12000	2.12000	0.4715	0.9999	0.0000
1.000	0.250	0.250	7.9000	2.12000	2.12000	0.4770	0.9999	0.0000
1.000	0.250	0.250	8.0000	2.12000	2.12000	0.4825	0.9999	0.0000
1.000	0.250	0.250	8.1000	2.12000	2.12000	0.4880	0.9999	0.0000
1.000	0.250	0.250	8.2000	2.12000	2.12000	0.4935	0.9999	0.0000
1.000	0.250	0.250	8.3000	2.12000	2.12000	0.4990	0.9999	0.0000
1.000	0.250	0.250	8.4000	2.12000	2.12000	0.5045	0.9999	0.0000
1.000	0.250	0.250	8.5000	2.12000	2.12000	0.5100	0.9999	0.0000
1.000	0.250	0.250	8.6000	2.12000	2.12000	0.5155	0.9999	0.0000
1.000	0.250	0.250	8.7000	2.12000	2.12000	0.5210	0.9999	0.0000
1.000	0.250	0.250	8.8000	2.12000	2.12000	0.5265	0.9999	0.0000
1.000	0.250	0.250	8.9000	2.12000	2.12000	0.5320	0.9999	0.0000
1.000	0.250	0.250	9.0000	2.12000	2.12000	0.5375	0.9999	0.0000
1.000	0.250	0.250	9.1000	2.12000	2.12000	0.5430	0.9999	0.0000
1.000	0.250	0.250	9.2000	2.12000	2.12000	0.5485	0.9999	0.0000
1.000	0.250	0.250	9.3000	2.12000	2.12000	0.5540	0.9999	0.0000
1.000	0.250	0.250	9.4000	2.12000	2.12000	0.5595	0.9999	0.0000
1.000	0.250	0.250	9.5000	2.12000	2.12000	0.5650	0.9999	0.0000
1.000	0.250	0.250	9.6000	2.12000	2.12000	0.5705	0.9999	0.0000
1.000	0.250	0.250	9.7000	2.12000	2.12000	0.5760	0.9999	0.0000
1.000	0.250	0.250	9.8000	2.12000	2.12000	0.5815	0.9999	0.0000
1.000	0.250	0.250	9.9000	2.12000	2.12000	0.5870	0.9999	0.0000
1.000	0.250	0.250	10.0000	2.12000	2.12000	0.5925	0.9999	0.0000

表-6

A	B	C	TA	TB	TC	SAV6	SAV2	SAV6-SAVER
10.0000	2.5000	2.5000	.00050	.00R00	.00R00	.03799	.01787	.02091
10.0000	2.5000	2.5000	.00100	.01400	.01400	.07082	.03216	.03866
10.0000	2.5000	2.5000	.00150	.02400	.02400	.10048	.04615	.05432
10.0000	2.5000	2.5000	.00200	.03200	.03200	.12834	.05936	.06897
10.0000	2.5000	2.5000	.00300	.04800	.04800	.17881	.08002	.09456
10.0000	2.5000	2.5000	.00400	.06400	.06400	.22369	.10890	.11879
10.0000	2.5000	2.5000	.00500	.08900	.08900	.26473	.12841	.13631
10.0000	2.5000	2.5000	.00600	.09800	.09800	.30245	.14982	.15363
10.0000	2.5000	2.5000	.00700	.11200	.11200	.33739	.16830	.16908
10.0000	2.5000	2.5000	.00900	.14740	.14740	.40036	.20499	.20556
10.0000	2.5000	2.5000	.01000	.18000	.18000	.42892	.22237	.20554
10.0000	2.5000	2.5000	.01500	.24000	.24000	.54943	.30128	.24155
10.0000	2.5000	2.5000	.02000	.32000	.32000	.64224	.45188	.47035
10.0000	2.5000	2.5000	.03000	.48000	.48000	.77268	.54054	.78213
10.0000	2.5000	2.5000	.04000	.64000	.64000	.85491	.68856	.86355
10.0000	2.5000	2.5000	.05000	.80000	.80000	.90717	.84845	.94271
10.0000	2.5000	2.5000	.06000	.96000	.96000	.94051	.72767	.71283
10.0000	2.5000	2.5000	.07000	1.12000	1.12000	.96182	.77998	.81824
10.0000	2.5000	2.5000	.08000	1.28000	1.28000	.97548	.82062	.85488
10.0000	2.5000	2.5000	.09000	1.44000	1.44000	.98424	.85441	.87942
10.0000	2.5000	2.5000	.10000	1.60000	1.60000	.98868	.88184	.10801
10.0000	2.5000	2.5000	.15000	2.40000	2.40000	.99887	.95839	.04048
10.0000	2.5000	2.5000	.20000	3.20000	3.20000	.99987	.99534	.01492
10.0000	2.5000	2.5000	.30000	4.80000	4.80000	.99999	.99918	.00181
10.0000	2.5000	2.5000	.40000	6.40000	6.40000	.99997	.99977	.00032
10.0000	2.5000	2.5000	.50000	8.00000	8.00000	1.00000	.99997	.00002

表-8

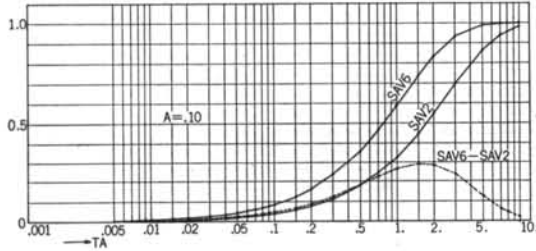


図-10

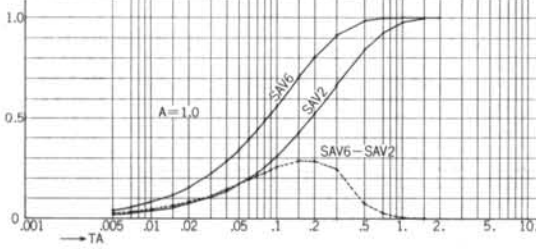


図-11

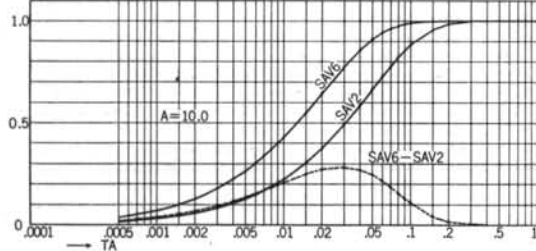


図-12

```

THE CALCULATION OF DIFFUSION EQUATION (MATSUMOTO 44-3)
DIMENSION AN(20),BN(20),FA(20),FB(20),TA(26),TB(26),SSA(26,20),SSB
1(26,20),SSC(26,20)
READ 301,TA(1),I=1,26
301 FORMAT(1F10.0)
H=0
100 READ 101,A
101 FORMAT(1F+0.0)
102 READ 102,B
103 FORMAT(1F+0.0)
B=H/A
CALL SDTAND(A,AN)
CALL SDTAND(B,BN)
PRINT R00
800 FORMAT(1H+A*9X+1HB*9X+1HC*8X+2HTA,BX+2HTB,BX+2HTC,7X+4HSAY1+6X+4
1HSAY2+2.6X+HSAY1-SAY2/1)
DO 400 I=1,26
400 TB(I)=1.11E-16
500 DO 510 K=1,26
510 FA(I)=2.*A*(A+B-BN(K))**2
500 FB(K)=2.*B*(B+B-BN(K))**2
DO 600 I=1,26
600 DO 610 K=1,20
610 AY=TA(I)+AN(K)**2
IF(AY>227.9) B=8.9
9.AY=227.9
B SSA(I,K)=EXP(-AY)*FA(K)*A/AN(K)**2
B*AY=AN(K)*BN(K)**2
IF(AY>227.9) B=10.11
11.AY=227.9
10.SS(B,I,K)=EXP(-BY)*FB(K)*B/BN(K)**2
600 CONTINUE
DO 700 I=1,26
700 SAM=0
SB=0
DO 702 K=1,20
702 SA=SS(A,K)
702 SB=SS(B,K)
SI=1+SA+SB+5B
S2=1-SB
S=SI-S2
700 PRINT 701,A,B,TA(I),TB(I),AN(I),BN(I)
701 FORMAT(1Z2+3F10.4+6F10.5/1)
PRINT 900
900 FORMAT(1H1)
998 CALL EXIT
END

```

表-9

```

COMMENT * * * THE SUBROUTINE OF DELTA COMPUTATION.
SUBROUTINE SDTAND_(M,R)
DIMENSION R(20)
TANF(X)=SINF(X)/COSF(X)
10 P=3.1415927
O=P*.5
N=0
11 Z=N
G=Z*P
O=G
A=0.
12 F=D*TANF(0)-H
IF(F) 13,17,15
13 A=A*Q
D=G+ATANA((D+O))
GO TO 12
14 F=D*TANF(D)-H
15 C=COSF(D)
U=D/(C*C)+TANF(D)
W=F/U
IF(W>1E-5) 17,17,16
16 D=W
GO TO 14
17 N=N+1
R(N)=U
G=D-G
IF(Z>N) 20,20,11
20 RETURN
END

```

表-10

6.2 終局収縮ひずみの推定

収縮ひずみの実測値から収縮拡散係数 k および表面係数 f を決定するためには、終局ひずみ S_∞ をきめなければならない。コンクリートの収縮が終るには 2~5 年かかるし、乾燥時間が長くなるにしたがって炭酸化による影響もでてくる。終局ひずみ S_∞ の推定は(1)~(3)式によることもできるが、ここでは、6 面乾燥の場合の収縮ひずみと 2 面乾燥の場合の収縮ひずみとの差から、つぎのような方法で S_∞ を推定した。

6 面乾燥ひずみ S_{AV6} と 2 面乾燥ひずみ S_{AV2} との差を、計算結果(表-6, 7, 8; 図-10, 11, 12)からみると、 A (あるいは B , C) がいかなる値の場合にも、 $S_{AV6}-S_{AV2}$ の値は $0 \leq t < \infty$ でただ 1 つの最大値を

もち、 $S_{AV6} - S_{AV2}$ が最大となるときの S_{AV6} の値は、ほぼ一致しているようである。そこで $S_{AV6} - S_{AV2}$ が最大となる近辺をさらに詳しく計算を行なった。この結果のうち、 $A = 0.1, 1.0, 10.0$ の場合を表-11, 12, 13 にお

A	B	C	TA	TB	TC	S_{AV6}	S_{AV2}	$S_{AV6} - S_{AV2}$
-1.000	.0250	.0250	1.8000	2.80000	2.80000	.73693	.66846	.28849
+1.000	.0250	.0250	1.8200	2.83200	2.83200	.74155	.65202	.28977
-1.000	.0250	.0250	1.8400	2.86400	2.86400	.74615	.65714	.28901
+1.000	.0250	.0250	1.8600	2.89600	2.89600	.75063	.66143	.28920
-1.000	.0250	.0250	1.8800	2.82800	2.82800	.75503	.66549	.28934
+1.000	.0250	.0250	1.9000	2.86000	2.86000	.75933	.66981	.28946
-1.000	.0250	.0250	1.9200	2.89200	2.89200	.76380	.67410	.28950
+1.000	.0250	.0250	1.9400	2.84400	2.84400	.76777	.67842	.28931
-1.000	.0250	.0250	1.9600	2.88600	2.88600	.77187	.68278	.28949
+1.000	.0250	.0250	1.9800	2.91800	2.91800	.77585	.68647	.28942
-1.000	.0250	.0250	2.0000	2.77000	2.77000	.77985	.69053	.28932

表-11

A	B	C	TA	TB	TC	S_{AV6}	S_{AV2}	$S_{AV6} - S_{AV2}$
-1.000	.2500	.2500	1.8500	2.85000	2.85000	.78167	.65650	.28517
-1.000	.2500	.2500	1.8800	2.88800	2.88800	.78790	.66248	.28542
-1.000	.2500	.2500	1.9100	2.91800	2.91800	.79398	.66835	.28533
-1.000	.2500	.2500	1.9400	2.94800	2.94800	.79991	.67428	.28547
-1.000	.2500	.2500	1.9700	2.83200	2.83200	.80570	.68002	.28547
-1.000	.2500	.2500	1.9800	2.88000	2.88000	.77133	.68575	.28540
-1.000	.2500	.2500	1.9900	2.92800	2.92800	.77608	.69140	.28544
-1.000	.2500	.2500	1.9800	2.97600	2.97600	.78276	.69700	.28524
-1.000	.2500	.2500	1.9700	3.02400	3.02400	.78749	.50253	.28495
-1.000	.2500	.2500	1.9600	3.07200	3.07200	.79201	.50801	.28460
-1.000	.2500	.2500	1.9500	3.12000	3.12000	.79701	.51342	.28419

表-12

A	B	C	TA	TB	TC	S_{AV6}	S_{AV2}	$S_{AV6} - S_{AV2}$
-10.000	2.5000	2.5000	.02600	.01800	.01100	.32760	.44611	.28154
-10.000	2.5000	2.5000	.02640	.02280	.03740	.45073	.58183	.28183
-10.000	2.5000	2.5000	.02680	.02380	.03740	.45530	.58203	.28222
-10.000	2.5000	2.5000	.02720	.025320	.03720	.46206	.59584	.28222
-10.000	2.5000	2.5000	.02760	.025160	.03760	.46868	.59834	.28234
-10.000	2.5000	2.5000	.02800	.026800	.048000	.51127	.68880	.28247
-10.000	2.5000	2.5000	.02840	.025960	.035650	.52567	.67327	.28245
-10.000	2.5000	2.5000	.02880	.026080	.036080	.53024	.67761	.28243
-10.000	2.5000	2.5000	.02920	.026720	.036720	.53633	.68196	.28237
-10.000	2.5000	2.5000	.02960	.027360	.037360	.54935	.69527	.28227
-10.000	2.5000	2.5000	.03000	.028000	.038000	.57286	.69954	.28213

表-13

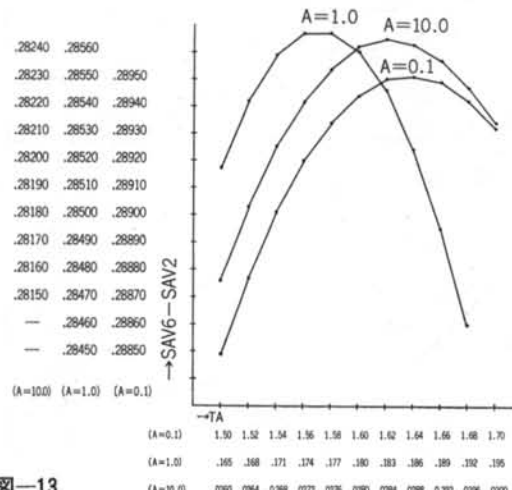


図-13

より図-13に示す。

この結果から $S_{AV6} - S_{AV2}$ が最大となるときの S_{AV6} の値は、0.75~0.77 である。したがって実測値から S_∞ を推定するには、6面乾燥試験体と2面乾燥試験体の収縮のひずみの差が最大となるときの、6面乾燥試験体の収縮のひずみを0.76で割ればよい。

本実験における6面乾燥試験体と、2面乾燥試験体の収縮ひずみの差を図-14に示す。これにより推定した S_∞ の値を表-14に示す。

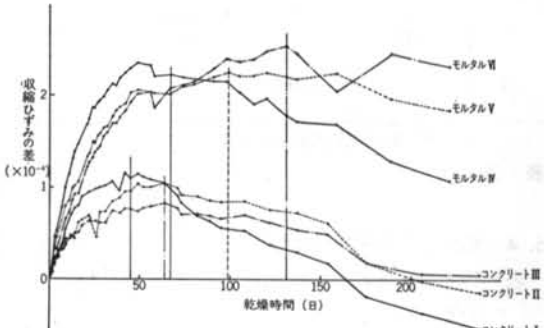


図-14 6面乾燥と2面乾燥の収縮の差

種類	S_∞ 推定値 $\times 10^{-6}$			
	1	2	平均	均
I	561	661	611	
II	548	505	527	
III	538	516	527	
IV	1,293	1,168	1,230	
V	1,157	1,151	1,154	
VI	1,113	1,090	1,101	

表-14 S_∞ 推定値

6.3 収縮拡散係数 k 、表面係数 f の決定

乾燥時間28日および14日(または16日)における S/S_∞ の値を用いて理論値と一致する A の値を計算結果(その一部を表-6, 7, 8 に示す)より求め、 k と f を決定した。

この方法で求めた k 、 f の値を表-15に示す。

この結果からみると、混和材を混入することにより、 S_∞ の値のみならず k の値も小さくなることがわかる。 f の平均値は約0.10($45 \pm 5\%$ R.H.)であった。G. Pickett⁹⁾は、温度24.4°C、湿度50±2%R.H.の環境条件のとき $f = 0.18\text{cm/day}$ を得ている。また、岡田清博士他¹⁵⁾は、温度20°C、湿度80%R.H.の環境条件のとき、 $f = 0.28\sim 0.43\text{cm/day}$ を得ている。これらの値を比較すると乾燥温度が低くなるにしたがって f は小さくなっている。

種類	$k(\text{cm}^2/\text{day})$		$f(\text{cm}/\text{day})$	
		平均		平均
I	0.23	0.25	0.13	0.12
	0.26		0.11	
II	0.12	0.13	0.11	0.10
	0.14		0.09	
III	0.13	0.12	0.10	0.10
	0.11		0.10	
IV	0.17	0.16	0.12	0.12
	0.15		0.13	
V	0.13	0.13	0.07	0.07
	0.13		0.07	
VI	—	0.06	—	0.08

注) VIの k, f は平均値のみを計算

表-15 k, f の値

6.4 理論値と実測値の比較

表-15で求めた k と f から、

$$0.0005 \leq Ta \leq 0.5$$

の範囲で計算を行なった。その結果を図-15~20の実線で示す。(図中の点は実測値である。)

理論曲線の k, f は、乾燥時間が28日および14日(または16日)のときの実測値を基準として求めたものであり、基準とする値のえらび方によって、 k, f の値は変化すると思われる。2面乾燥の実測値が理論値に対して収縮ひずみが常に大きくなっているのは、2面乾燥試験体のシールの方法に問題があると思われる。

6.5 完全にシールした試験体の収縮について

図-4~9によると、完全にシールしたときの収縮ひずみは6面乾燥の場合の15~20%である。この収縮は、セメントの水和反応によりコンクリート内部の毛細管水が減少するため生じるものである。

このような内部乾燥は、外部からの乾燥と独立に行なわれるとすれば、 k, f, S_∞ を決定する際に、この内部乾燥による収縮ひずみを考慮する必要がある。しかし、乾燥過程にあるコンクリートの水和反応の程度は内部の湿度に関係あることから、乾燥収縮と同様に拡散現象と考えられる。このことから、本研究では、 k, f, S_∞ の決定に対しては、内部乾燥による収縮もあわせて考慮した。ただし、シール技術上の問題も含めて、今後検討を要する問題である。

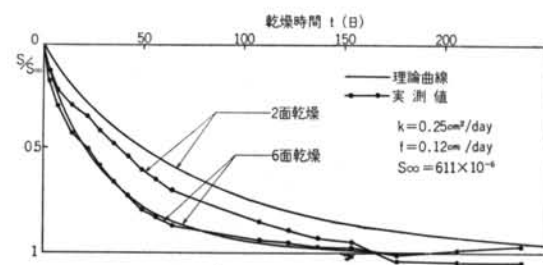


図-15 (I)

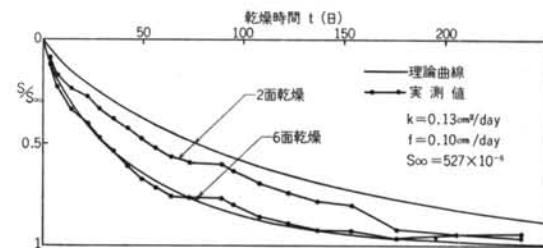


図-16 (II)

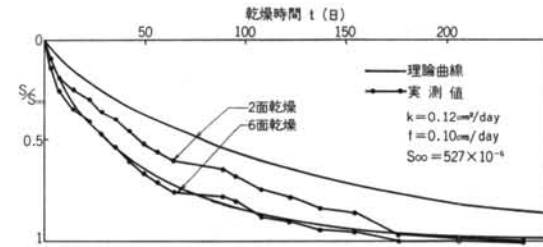


図-17 (III)

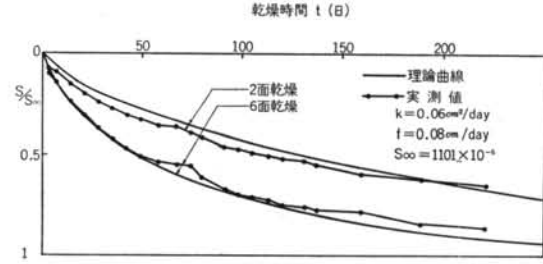


図-18 (IV)

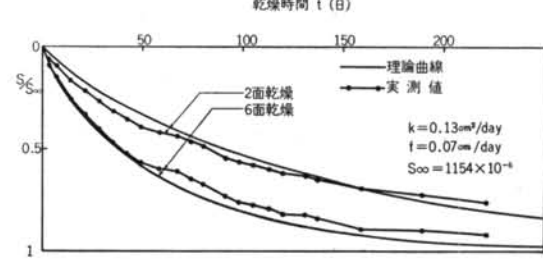


図-19 (V)

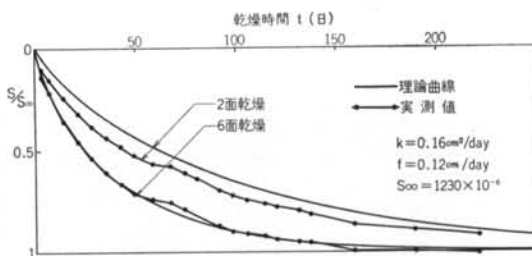


図-20 (VI)

§7. まとめ

- 1) 6面乾燥および2面乾燥の収縮過程の相違から、コンクリートおよびモルタルの終局自由収縮ひずみの推定を試みた。本実験における推定値は表-14のとおりである。
- 2) 本実験より求めた収縮拡散係数 k 、表面係数 f は表-15のとおりである。表面係数 f は、乾燥湿度が低くなるほど小さくなるが、本実験(45±5%R.H.)では0.07~0.13であった。
- 3) コンクリート試験体を2面のみから乾燥したときの収縮ひずみは、計算値より大きな値を示す。また、試験体を完全にシールしたときの収縮ひずみは6面乾燥の場合の15~25%であった。これらの点については、シール技術上の問題も含めて今後検討を要す。
- 4) 収縮低減材等を混入したコンクリートおよびモルタルの収縮ひずみは、無混入のものと比較して10~20%程度小さい。また、収縮拡散係数 k も小さくなる。

5) 以上を総括すると、収縮拡散方程式の計算値と実測値の間に大きな矛盾はない。

§8. あとがき

本研究では、収縮拡散方程式を取扱うまでの問題点を概略につかむことができた。目標は、自然環境における収縮量を推定することにあるが、環境条件により影響を受ける表面係数 f や終局収縮ひずみ S_∞ に関する研究を進めていくことによって、自然環境における収縮量の推定も可能となろう。

終局収縮ひずみ S_∞ の各種の条件による推定式は、たとえば(3)式等があるが、これでは途中の経過は不明で、コンクリート部材内部の位置による差もわからない。

本研究で用いた拡散方程式は、 S_∞ , f , k , を与える必要があり、自然環境における収縮ひずみの推定は、上記各種の方法を併用することにより可能だと思われる。

コンクリートの乾燥収縮ひびわれは、薄い部材の収縮ひずみが他の部材より大きいためで、これは本文でとりあげたが、また、薄い部材の乾燥速度が大きいための、強度発現の相対的低下も、原因の1つと考えられる。このような、コンクリート部材の形状による強度発現の差も、拡散方程式によって理論的に検討が可能だと思われる。

<参考文献>

- 1) 大野和男：“モルタルおよびコンクリートの乾燥収縮としづれ防止に関する研究”北大研究報告9号(1953.12)
- 2) 仕入豊和：“セメントベースト量とコンクリートの乾燥収縮量に関する実験的研究”日本建築学会研究報告集58号(1963.6)
- 3) H. Hilsdorf：“Prediction of Shrinkage and Creep Coefficients for Structural Concrete”日米科学セミナー(1968)
- 4) A. D. Ross：“Creep and Shrinkage in Plain, Reinforced and Prestressed Concrete” Institution of Civil Engineering, Vol. 21, No. 1 (1943)
- 5) Inge Lyse：“Shrinkage and Creep of Concrete” Journal of A. C. I. Vol. 56. (1960)
- 6) Inge Lyse：“The Shrinkage and Creep of Concrete” Magazine of Concrete Research Vol. 11, No. 33 (1959)
- 7) 日本建築学会：“プレストレスコンクリート設計施工規準・同解説”1961
- 8) G. Pickett：“Shrinkage Stresses in Concrete(Part I)” Journal of A. C. I. Vol. 17, No. 3 (1946)
- 9) G. Pickett：“Shrinkage Stresses in Concrete(Part II)” Journal of A. C. I. Vol. 17, No. 4 (1946)
- 10) 近藤実：“硬化セメントベースト中の水の形態と水分の拡散を考慮した乾燥収縮の関係”セメント技術年報XII(1958)
- 11) 近藤実：“硬化セメントベースト中の水分の形態、強さ、弾性係数および乾燥収縮の研究”セメント技術年報 XIV(1960)
- 12), 13), 14) 原田有、仕入豊和、椎名国雄：“乾燥・湿潤にともなうコンクリートの内部温度分布ならびに変形に関する研究”日本建築学会関東支部研究発表会梗概集第36回(1965), 第37回(1966), 第38回(1967)
- 15) 岡田清他：“ソイルセメントの乾燥収縮応力に関する二、三の考察”土木学会論文集第142号(1967)